

Figura 2.27 Modelo de estado crítico.

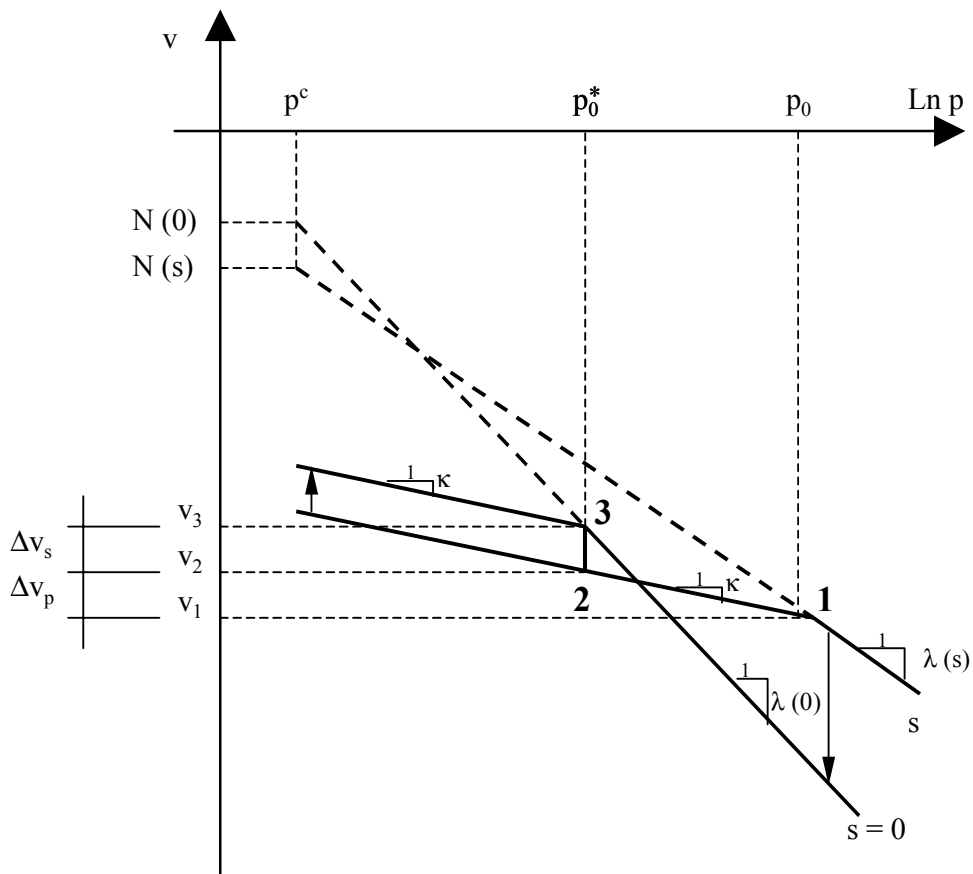


Figura 2.28 Variación del volumen específico  $v$  con  $p$  y  $s$  en curvas de carga y descarga según Alonso *et al.*, (1990).

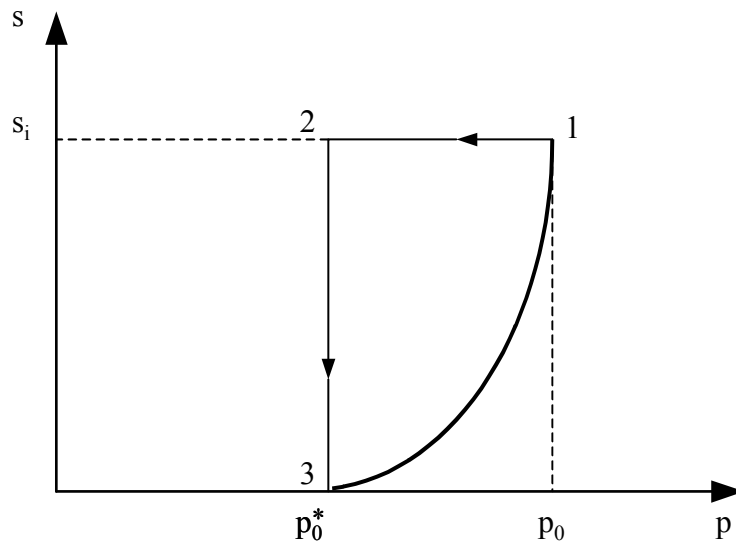


Figura 2.29 Superficie de fluencia asociada a  $p_0^*$  (Alonso *et al.*, 1990).

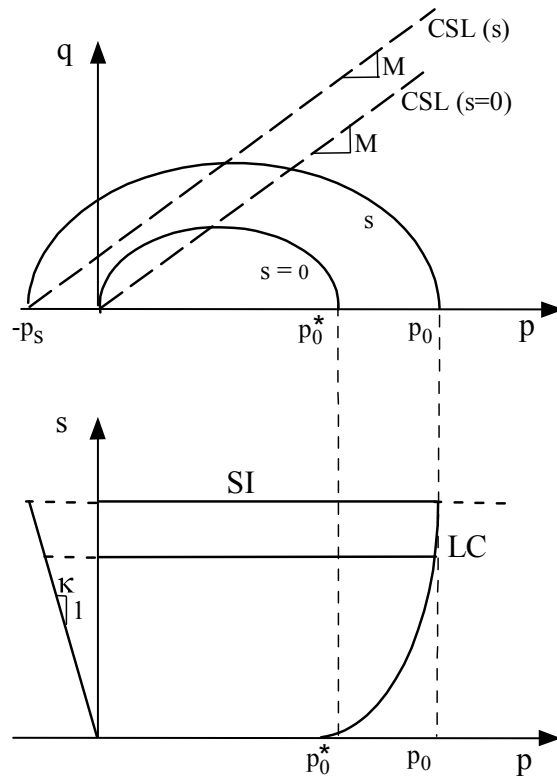


Figura 2.30 Superficie de fluencia en los planos  $(p, q)$  y  $(s, p)$ .

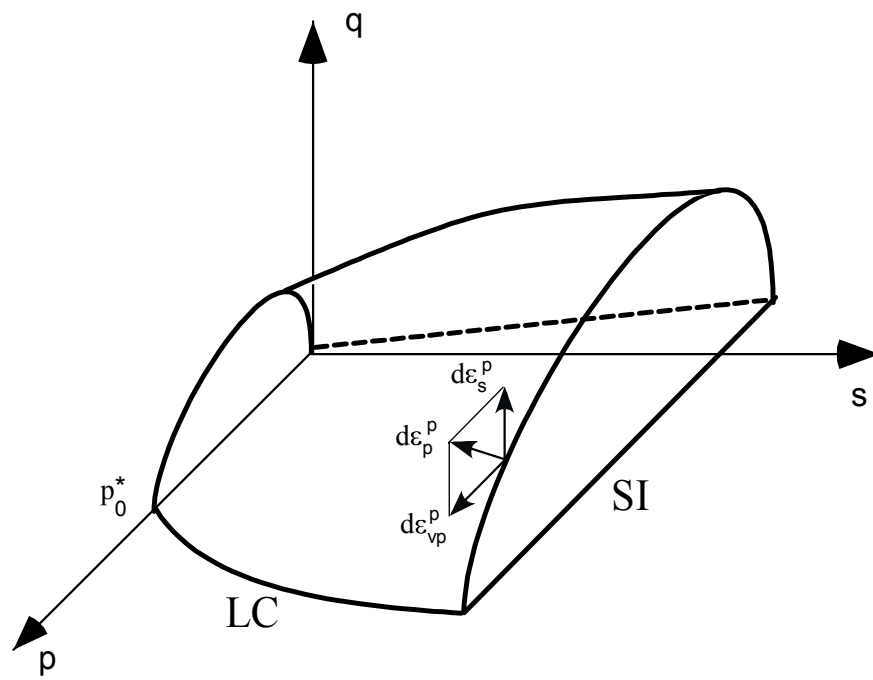


Figura 2.31 Superficie de fluencia del BBM en el espacio  $(p, q, s)$ .